

建設省土木研究所 正員 岩崎敏男・正員 O龍岡丈夫
建設省関東地方建設局川崎国道工事事務所 正員 宮田清廣

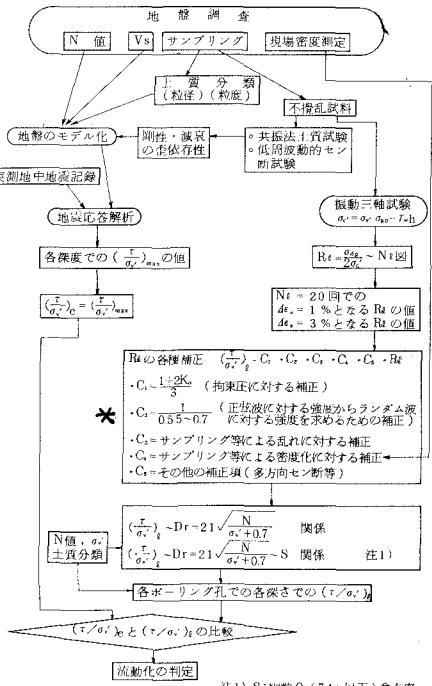
日本道路協会道路橋耐震設計指針によると「現地盤から10mより浅い所にある飽和砂質土層は、現位置における標準貫入試験のN値が10以下、均等係数が6以下かつ粒径加積曲線のD₂₀が0.04~0.5mmの区間にあるときは流動化するものとし……、D₂₀が上記の区間以外でも0.004~1.2mmの間にあるものは流動化的可能性があるため注意を要する。……またとくに検討を加えた場合はこの条項によらなくてもよい。」とされている。これは、図-1, 2に示すように10以下N値の部分が多く、かつ、図-2に示すような粒度分布の細粒分含有量の多い細砂層の流動化判定はどのようにしたうまいとある。上記指針に従えば、この砂層は D_c > 6.0 あるいは N > 10 の部分は流動化しないが、大半は流動化的可能性があることになる。しかし、各々の薄層の D_c が小さい場合でも、若干のシルトあるいは粘土のシームを挟んでいると、ある厚さの層に対する D_c は極端に大きくなる事があるなど、D_c は流動化的判定に対して、あまりでない印象である。最近の考え方¹⁾でも D_c は流動化判定の基準から外されていて、一方、一般に細粒分が多くなると N 値は下がる傾向があり、細粒分を含んでいる細砂層に対して、N 値による流動化判定を機械的に適用すると、地盤の動的抵抗力を過小評価する可能性がある。

今回、図-1 に示す方法で、ビショップサンプリングにより採取した不搅乱砂質試料の動的三軸試験と、地盤の地盤応答解析を基本とした流動化判定作業を行った所、細粒分をある程度含む細砂層で N 値が 10 以下でも、D_c > 6 ということではなく、実際に動的強度があるため、流動化しないと判定することができます場合があることが分った。ここに報告するのは、その調査の一端であり、詳しいは文献²⁾を参照下さい。

図-1 での $(C/\sigma'_v)_e$ は各深度での地盤力によるせん断荷重であり、土の変形特性の非線型・歪形特性を考慮した重複反射法によつて求めた各深度での時間最大せん断荷重 $(C/\sigma'_v)_{max}$ である。ここででは動的せん断応力、 σ'_v は有効上載圧である。動的(振動)三軸試験では有効拘束圧 σ'_v は、 σ'_v と、等方圧密 (t)。背圧は静水圧 (t)。動的三軸強度は次式で定義した。

$$R_d = \left(\frac{\sigma'_v}{2\sigma'_v} \right)_e = \begin{cases} \text{動的軸歪振幅 (片振幅): } \Delta \epsilon_d (\delta A) \text{ が } N = 20 \text{ 回で} \\ 3\% \text{ となる時の応力比: } \sigma'_p / 2\sigma'_v \end{cases} \quad (1)$$

図-3 は、搅乱試料の R_d は不搅乱試料の R_d より相当小さいことを示したものであり、搅乱試料を用いた動的三軸試験の結果から細粒分を含む細砂の動的強度を求めるには、著しく過小評価することが分かる。 R_d から、地盤荷重 $(C/\sigma'_v)_e$ と比較すべき動的強度 $(C/\sigma'_v)_d$ を求めるには、図-1 の *印のプロットに示す様に



注1) S: 細粒分 (74μm 以下) 含有率

図-1. 流動化判定作業フローチャート

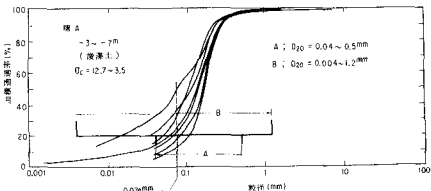


図-2. 検討した砂層の粒径加積曲線の一例

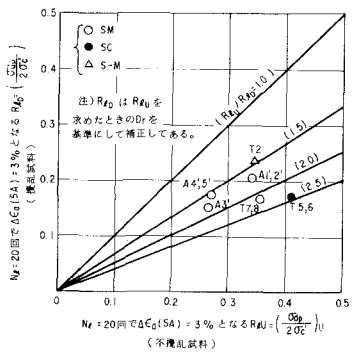


図-3. 不搅乱試料と搅乱試料の R_d の比較

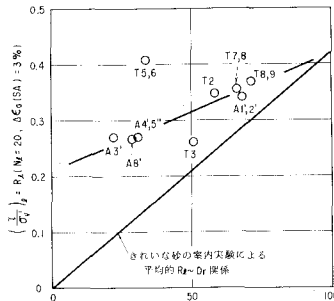
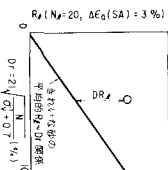


図-4

$$D_r = 21 \sqrt{\frac{N}{\sigma'_v + 0.7}} (\text{kN/cm}^2)$$

きれいな砂の室内実験による平均的 R_d - D_r 関係図-5, DR_d の定義図-6, DR_d と S の関係図-7, $(\tau/\sigma'_v)_d$ ~ D_r ~ S 関係図-4 不搅乱試料の $(\tau/\sigma'_v)_d$ と $D_r = 21 \sqrt{\frac{N}{\sigma'_v + 0.7}}$ 関係

各種の補正が必要であるが、検討の結果最終的には $(\tau/\sigma'_v)_d = G \cdot C_1 \cdot C_2 \cdot C_3 \cdot C_4 \cdot C_5 \cdot R_d = 1.0 R_d$ となる。図-4にこのように求めた不搅乱試料の採取地点での N と σ'_v から Gibbs and Holtz の実験に基づく Meyerhof の式、 $D_r = 21 \sqrt{\frac{N}{\sigma'_v + 0.7}}$ (kN/cm^2) から求めた D_r と $(\tau/\sigma'_v)_d$ の関係を○印で示す。Meyerhof の式は、新潟市の中砂地盤にはよく適用できることは別途確認されていく。
図-4には、細粒分を含まないきれいな砂の動的三軸試験による $(\tau/\sigma'_v)_d$ と $D_r = (C_{\max} - e)/(C_{\max} - e_{\min})$ の平均的関係を同時に示してある。これは、(2)式であらわせる。

$$(\tau/\sigma'_v)_d = 0.0042 D_r \quad (2), \quad (N, \sigma'_v) \rightarrow D_r = 21 \sqrt{\frac{N}{\sigma'_v + 0.7}} \rightarrow (2) \text{式} \rightarrow (\tau/\sigma'_v)_d \quad \dots \quad (3)$$

以上の事から、細粒分を含まない中砂では、(3)式から $(\tau/\sigma'_v)_d$ を求めてよいが、今回の場合は、 $(\tau/\sigma'_v)_d$ を相当過小評価することになりかねない。そこで、今回は、次の3つの方法で $(\tau/\sigma'_v)_d$ を求めた。

(1) 不搅乱試料採取深度 z は、動的三軸試験のデータそのものを利用する。

(2) N 値の2倍で求っている所では、次の(4)式から $(\tau/\sigma'_v)_d$ を求める。

$$(N, \sigma'_v) \rightarrow D_r = 21 \sqrt{\frac{N}{\sigma'_v + 0.7}} \rightarrow (5) \text{式} \rightarrow (\tau/\sigma'_v)_d \quad \dots \quad (4)$$

$$\text{図-4のOEPの平均線; } R_d = 0.21 + 0.0021 D_r \quad \dots \quad (5)$$

(3) 図-4との今回のデータとくらいな砂の差は、今回の砂が細粒分を含有しているためと考えられる。そこで、図-5のように同じ D_r に対する R_d の差 DR_d を定義し、図-6のように DR_d と細粒分の含有率 S (%) の相関をとった。 S と DR_d の関係は(6)式であらわせ、これから求めた $(\tau/\sigma'_v)_d$ ~ D_r ~ S 関係を図-7に示す。従って、 N と σ'_v が分かれば(3)式より $(\tau/\sigma'_v)_d$ の値の範囲を求める。

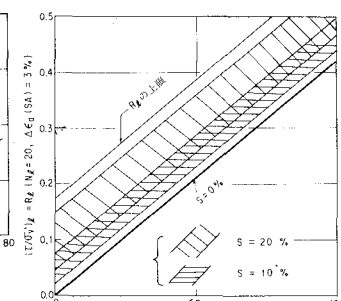
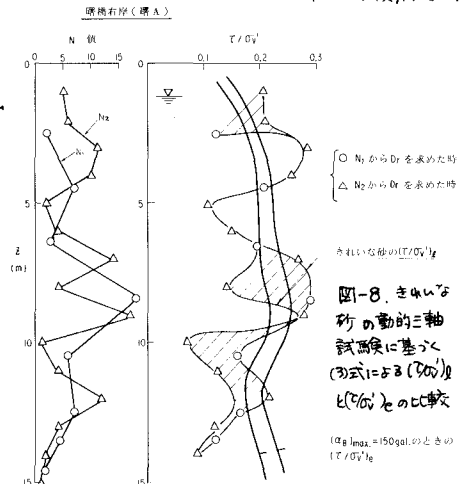
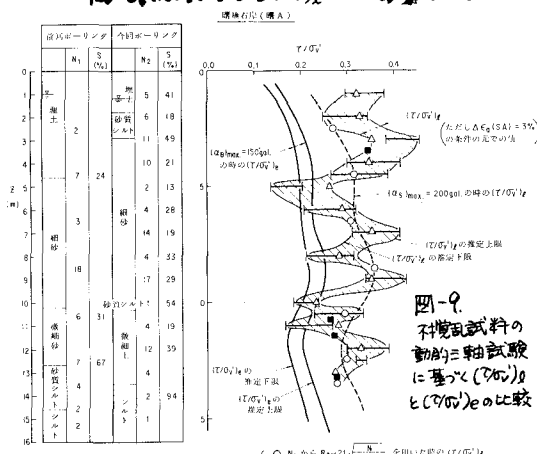
$$DR_d = D(\tau/\sigma'_v)_d = 0.0022 S \sim 0.0075 S \leq 0.175 (S\%) \quad (6)$$

$$(\tau/\sigma'_v)_d = \{ (4) \text{式} \text{ による } (\tau/\sigma'_v)_d \} + \{ (6) \text{ 式} \text{ による } D(\tau/\sigma'_v)_d \} \quad (7)$$

図-7は、同一の σ'_v , N に対して S が大きい程 $(\tau/\sigma'_v)_d$ が大きい事、逆に、同一の σ'_v , N に対して S が大きい程、 N 値が小さき事を示している。図-8は(3)式によて求めた $(\tau/\sigma'_v)_d$ と $(\tau/\sigma'_v)_e$ の比較、図-9は、上述の(1)~(3)の方法によて求めた $(\tau/\sigma'_v)_d$ と $(\tau/\sigma'_v)_e$ の比較を示す。明らかに、くらいな砂の動的三軸試験の結果を適用することは不適切であり、今回の手法を用いれば、一部分にのみ(か)流動化が生じないということになる。

(謝辞) 本研究を進めるにあたって建設省川崎工事、竹野照夫氏、岩崎章氏、長田純二氏、東京建設工業広瀬誠氏、基礎地盤コンサルタント安田道氏の多くの協力を得ている。

(参考文献) 1) 砂層の流動化研究委員会(1975)砂層の流動化に関する調査報告書 2) 土木研究所資料

図-8, きれいな砂の動的三軸試験に基く(3)式による $(\tau/\sigma'_v)_d$ と $(\tau/\sigma'_v)_e$ の比較(a) $\sigma'_v = 150 \text{ gal}$ のときの $(\tau/\sigma'_v)_d$ 図-9, 不搅乱試料の動的三軸試験に基く(3)式による $(\tau/\sigma'_v)_d$ と $(\tau/\sigma'_v)_e$ の比較

○ N_1 から $R_d = 21 \sqrt{\frac{N}{\sigma'_v + 0.7}}$ 全用いた際の $(\tau/\sigma'_v)_d$
 △ N_2
 ■ 不搅乱試料の実データ
 □ N_1, N_2 から S の含有量を考慮した式から求めた $(\tau/\sigma'_v)_d$
 $R_d = 0.0982 \sqrt{\frac{N}{\sigma'_v + 0.7}} + (0.00225 - 0.00755)$